

УДК 535.37

© 1993

## ВОЗБУЖДЕНИЕ ПРИМЕСНОЙ ОСТОВНО-ВАЛЕНТНОЙ ЛЮМИНЕСЦЕНЦИИ В КРИСТАЛЛАХ $Rb_{1-x}Cs_xCaCl_3$

*П. А. Родный, А. С. Волошиновский, В. Б. Михайлик*

В кристаллах  $Rb_{1-x}Cs_xCaCl_3$  на основании измерения спектров возбуждения люминесценции установлена принадлежность быстрого свечения в области 3—5 эВ к примесной оставно-валентной люминесценции, обусловленной переходами  $5pCs^{2+} \rightarrow 3pCl^-$ . Предполагается, что передача энергии возбуждения от оставных экситонов катионов матрицы к примеси осуществляется благодаря энергетическому перекрытию  $4pRb^+$ -зоны и  $5pCs^+$ -уровней.

Представление об оставно-валентной люминесценции (ОВЛ) как о новом типе собственного свечения ряда галоидных соединений, обусловленном излучательной рекомбинацией оставной дырки и валентного электрона, сформировалось совсем недавно. Мощным стимулом для всестороннего изучения этого явления послужила возможность практического применения ОВЛ-активных сред в качестве быстродействующих приемников ионизирующего излучения. Последнее обусловлено коротким временем послесвечения ( $\tau \sim 10^{-9}$  с) термической стабильностью энергетического выхода ОВЛ.

Важнейшее условие, определяющее возможность существования ОВЛ, состоит в том, что ширина запрещенной зоны должна превышать как минимум энергетическую щель между валентной и ближайшей оставной зонами [1]. В этом случае излучение имеет возможность распространяться через кристалл без потерь на межзонное поглощение. Такое условие существенно сокращает количество ОВЛ-активных сред, ограничивая его галоидными соединениями, содержащими ОВЛ-активные ионы  $Va^{2+}$ ,  $Cs^+$ ,  $Rb^+$  и  $K^+$ .

Введение ОВЛ-активных ионов в соответственно подобранные матрицы позволяет наблюдать примесную оставно-валентную люминесценцию, обусловленную излучательной рекомбинацией оставных дырок примеси и электронов валентной зоны кристалла. В связи с этим представляют интерес более детальное исследование механизма примесной ОВЛ и изучение ее свойств в различных кристаллах.

В настоящей работе представляются результаты исследования примесной ОВЛ в кристаллах  $RbCaCl_3$ , активированных цезием. Введение примеси цезия с  $5p$ -уровнями, расположенными выше оставной  $4pRb^+$ -зоны, создает условия для возникновения оставно-валентных переходов в кристалле.

Монокристаллы  $Rb_{1-x}Cs_xCaCl_3$  ( $x = 0, 0.007, 0.04, 0.20$ ) выращивались методом Бриджмена. Спектры рентгенолюминесценции, кинетика затухания свечения регистрировались методом счета единичных фотонов [2]. Рентгеновские фотоэлектронные спектры (РФЭС) измерялись на электронном спектрометре IEE-15 при возбуждении линией  $AlK_{\alpha 1/2}$ , а спектры возбуждения люминесценции — с использованием источника синхротронного излучения.

В чистых монокристаллах  $RbCaCl_3$  наблюдалось свечение с максимумом при 2.75 эВ, отнесенное к экситонной люминесценции. При исследовании спектров возбуждения быстрого свечения в области 6.0—7.5 эВ зарегистрировано слабое

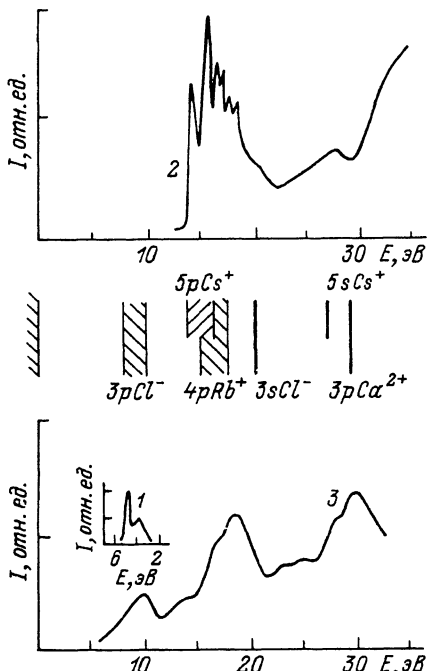


Рис. 1. Спектральные характеристики и схема расположения энергетических зон кристаллов  $\text{Rb}_{1-x}\text{Cs}_x\text{CaCl}_3$  ( $T = 300$  К).

1 — спектр ОВЛ, 2 — спектр возбуждения ОВЛ, 3 — РФЭС для  $\text{Rb}_{0.8}\text{Cs}_{0.2}\text{CaCl}_3$ .

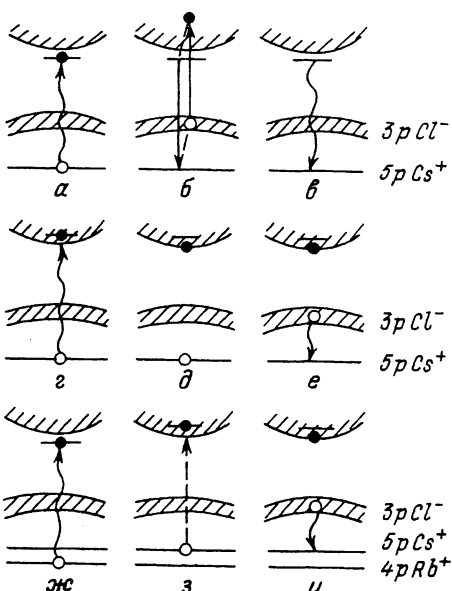


Рис. 2. Схемы релаксации энергии возбуждения оставных катионных экситонов.

$a, g, x$  — исходные состояния оставных экситонов;  $b$  — безызлучательная релаксация в результате Оже-процесса;  $c$  — излучательный распад оставного экситона;  $e, u$  — оставно-валентная люминесценция.

излучение, которое можно связать с собственной ОВЛ кристалла. На это указывает наличие слабо выраженного порога при энергии 17 эВ, обусловленного возбуждением излучательных переходов  $4p\text{Rb}^{2+} \rightarrow 3p\text{Cl}^-$ . В  $\text{RbCaF}_3$  аналогичный порог возбуждения ОВЛ имеет место при 16.8 эВ [3] и связывается с энергией ионизации 4p-уровней рубидия.

В активированных кристаллах  $\text{Rb}_{1-x}\text{Cs}_x\text{CaCl}_3$  наблюдаются полосы излучения с максимумами при 4.6 и 3.9 эВ (рис. 1, кривая 1). Время высвечивания этого излучения при импульсном рентгеновском возбуждении составляет 2.1 нс ( $T = 77$  К). Время затухания излучения и интенсивность люминесценции незначительно зависит от температуры. Интенсивность излучения  $\text{Rb}_{1-x}\text{Cs}_x\text{CaCl}_3$  увеличивается с ростом концентрации цезия и при  $x = 0.04$  превышает интенсивность ОВЛ в кристаллах  $\text{CsCl}$ .

Спектр возбуждения люминесценции кристаллов  $\text{Rb}_{1-x}\text{Cs}_x\text{CaCl}_3$  имеет отчетливо выраженный порог при  $E = 14.0$  эВ с последующими резкими максимумами в области 14.5—19.0 эВ и полого возрастающий континуум в области  $E > 22$  эВ (рис. 1, кривая 2). Порог возбуждения быстрой люминесценции коррелирует с расположением  $5p\text{Cs}^+$ -уровней в РФЭС (рис. 1, кривая 3) и совпадает с таковыми в  $\text{CsCl}$  и  $\text{CsCaCl}_3$ , где при таких энергиях возбуждения наблюдается собственная ОВЛ [4]. Следовательно, в  $\text{Rb}_{1-x}\text{Cs}_x\text{CaCl}_3$ , как и в других хлоридах на основе цезия, при этих энергиях происходят создание дырки в оставной зоне и ее последующая рекомбинация по схеме  $5p\text{Cs}^{2+} \rightarrow 3p\text{Cl}^-$ . Таким образом, полосы люминесценции 4.6 и 3.9 эВ в  $\text{Rb}_{1-x}\text{Cs}_x\text{CaCl}_3$  имеют характерные признаки, позволяющие отнести их к примесной ОВЛ.

1. Порог возбуждения излучения ( $E = 14$  эВ) соответствует созданию дырок в  $5p$ -зоне  $\text{Cs}^+$ .

2. Интенсивность люминесценции возрастает с ростом концентрации цезия в кристаллах  $\text{Rb}_{1-x}\text{Cs}_x\text{CaCl}_3$  и, следовательно, имеет примесную природу.

3. Изменение температуры незначительно влияет на интенсивность и кинетику затухания люминесценции.

Выяснив природу наблюданной люминесценции в кристаллах  $\text{Rb}_{1-x}\text{Cs}_x\text{CaCl}_3$ , рассмотрим процессы релаксации высокоэнергетических возбуждений, приводящих к возникновению ОВЛ. Наиболее резкая структура спектра возбуждения ОВЛ приходится на интервал 14–19 эВ. Из РФЭС и схемы расположения энергетических зон кристалла (рис. 1) видно, что этот спектральный диапазон связан с возбуждением перекрывающихся  $5p\text{Cs}^+$ - и  $4p\text{Rb}^+$ -остовных зон. Спад интенсивности в спектре возбуждения в окрестности 20 эВ обусловлен поглощением фотонов  $3s$ -оболочкой  $\text{Cl}^-$  и последующими Оже-процессами, не создающими дырки в оставной катионной зоне. На максимум ~27 эВ в спектрах возбуждения ОВЛ приходится небольшой порог в РФЭС, обусловленный  $5s\text{Cs}^+$ -уровнями. Максимум в области 28 эВ в РФЭС соответствует  $3p$ -зоне  $\text{Ca}^{2+}$  и коррелирует со спадом выхода ОВЛ. Аналогичный эффект отмечен ранее в спектрах ОВЛ кристаллов  $\text{CsCaCl}_3$  [4]. Следовательно, возбуждение  $\text{Ca}^{2+}$ -катиона не влияет на ОВЛ этих соединений.

Проанализируем более детально структуру спектра в области порога возбуждения (рис. 1, кривая 2) и в связи с этим возможный механизм возбуждения примесной ОВЛ.

Особенность оставных возбуждений в  $\text{Rb}_{1-x}\text{Cs}_x\text{CaCl}_3$  (как и в  $\text{RbCl}$  и  $\text{CsCl}$  [5]) для этой области связана с образованием экситонов и отсутствием межзонных переходов, приводящих к созданию электронно-дырочной пары (дырка в верхней оставной зоне и электрон на дне зоны проводимости). В этом случае становится понятным отсутствие ОВЛ в области низкоэнергетического экситонного пика 13.27 эВ ( $\text{Cs}5p_{3/2} \rightarrow \Gamma_1$  переход; см. таблицу), поскольку дырочная компонента экситона расположена в вершине оставной зоны, а его электронная компонента занимает уровень ниже дна зоны проводимости (рис. 2, a). Не имея возможности трансформироваться в свободную электронно-дырочную пару, такой экситон распадается либо за счет Оже-перехода (рис. 2, б), либо излучательно (рис. 2, в). Существование таких процессов в ионных кристаллах подтверждено экспериментально [6]. При возбуждении в более высокоэнергетической области (максимум 14.27 эВ) для объяснения возникновения ОВЛ необходимо предположить, что здесь создаются экситоны с энергией, достаточной для распада на свободные электроны и дырки (рис. 2, г, д) с последующим излучением ОВЛ (рис. 2, е). Механизм такого распада пока не изучен, есть лишь некоторые предположения [5].

Примесная ОВЛ эффективно возбуждается и в области создания экситонов  $4p\text{Rb}^+$ -зоны, где наблюдается неплохое совпадение между положением максимума

Положение пиков катионных экситонов в спектрах отражения кристаллов  $\text{RbCl}$  и  $\text{CsCl}$  [5] и максимумов в спектре возбуждения примесной ОВЛ кристалла  $\text{Rb}_{0.8}\text{Cs}_{0.2}\text{CaCl}_3$

Возбуждение примесной ОВЛ, эВ	Отражение, эВ	Экситонный переход
—	13.27	$\text{Cs}5p_{3/2} \rightarrow \Gamma_1$
14.27	14.22	$\text{Cs}5p_{3/2} \rightarrow ?$
16.16	16.11	$\text{Rb}4p_{3/2} \rightarrow \Gamma_1$
16.88	17.00	$\text{Rb}4p_{1/2} \rightarrow \Gamma_1$
17.22	17.29	$\text{Rb}4p_{3/2} \rightarrow X_1$
17.77	17.99	$\text{Rb}4p_{1/2} \rightarrow X_1$

мов пиков отражения и возбуждения люминесценции (см. таблицу). Этот факт указывает на эффективную передачу энергии возбуждения от катионов матрицы ( $Rb^+$ ) к катионам примеси. При этом в  $5p$ -оболочке  $Cs^+$  возбуждается экситон с энергией, достаточной для распада на электрон и дырку (рис. 2, ж, з), и возникает возможность для излучательного перехода  $5pCs^{2+} \rightarrow 3pCl^-$  (рис. 2, и). Передача энергии возбуждения осуществляется за счет энергетического перекрытия  $4pRb^+$ - и  $5pCs^+$ -зон в кристалле. При этом возникает возможность перехода дырочной компоненты оствового экситона матрицы в  $5pCs^+$ -зону, чем и создается эффективный канал релаксации энергии возбуждения через ОВЛ. Самостоятельное движение оствовой дырки по кристаллу затруднено вследствие большой эффективной массы и отсутствия плотной катионной упаковки.

Возможность подвижности оствовых дырок обсуждается и в работе [7] на основе анализа кинетики затухания ОВЛ. Однако полученные результаты неоднозначны. Они позволяют интерпретировать неэкспоненциальную кинетику затухания ОВЛ в  $CsCl$  с позиций как миграции оствовой дырки, так и мультипольного взаимодействия с дефектами кристалла.

Можно ожидать, что дальнейшие исследования собственной и примесной ОВЛ позволят выяснить не только детали механизма ОВЛ, но и особенности миграции оствовых дырок и экситонов в широкозонных кристаллах.

#### Список литературы

- [1] Родный П. А. // Опт. и спектр. 1989. Т. 67. № 5. С. 1068—1074.
- [2] Антоняк О. Т., Волошиновский А. С., Пащук И. П., Пидзырайло С. Н., Родный П. А. // Опт. и спектр. 1991. Т. 70. № 5. С. 1035—1037.
- [3] Родный П. А., Терехин М. А., Петров С. В. // ФТТ. 1990. Т. 32. № 10. С. 3171—3173.
- [4] Мельчаков Е. П., Родный П. А., Рыбаков Б. В., Смаков А. Я., Терехин М. А. // ФТТ. 1989. Т. 31. № 5. С. 276—278.
- [5] Rubloff G. W. // Phys. Rev. 1972. V. 5. N 2. P. 662—684.
- [6] Эланго М. А., Жураковский А. П., Кадченко В. Н., Майстэ А. А., Саар А. И.-Э. // Аппаратура и методы рентгеновского анализа. 1981. № 25. С. 178—183.
- [7] Kubota S., McDonald M., Munro I. H. / J. Lummin. 1991. V. 48/49. P. 589—592.

Технический университет  
Санкт-Петербург

Поступило в Редакцию  
3 сентября 1992 г.